



SISTEMA DE CÁLCULO DE PROTECCIÓN CATÓDICA DE LOS BUQUES CON MACROS EN EXCEL.

Primer Autor Montero Bueno J.A¹
Segundo Autor Díaz Cervantes L.M²

^{1,2} Centro de Investigación y Desarrollo Naval. ¹e-mail: monteroarturo917@gmail.com

RESUMEN

La protección catódica por ánodos de sacrificio, en conjunto con el uso de distintos esquemas de pintura es el método más utilizado para el control de la corrosión en los cascos de las embarcaciones.

Este trabajo brinda un sistema de cálculo de protección catódica de los buques, realizado con macros en Excel para una mejor interacción con el usuario, que le resulte fácil y operativo, teniendo en cuenta la gran cantidad de datos a introducir si se quiere realizar un cálculo a conciencia, que abarque las diferentes partes sumergidas de la embarcación que van a estar sometidas a la corrosión galvánica.

Se realizó un estudio de los métodos que existen para el cálculo de la protección catódica de los buques y se elaboró una metodología de cálculo, que comprende el cálculo de ánodos en el casco (bandas y fondo), ánodos en espejo de popa teniendo en cuenta el área de la hélice, ánodos en cajas de mar, ánodos en arbotantes y ánodos en palas de timón.

En este trabajo no se pretende tratar esta teoría de forma explícita, aunque se realizó un estudio de varias fuentes sobre el tema. Por lo que se muestra la implementación de un sistema de protección catódica con macros en Excel, que brindan una solución práctica a los profesionales del mar, para el cálculo y determinación de la cantidad de ánodos de sacrificio en las diferentes partes de la obra viva del buque, ya sea en el proceso de diseño o de explotación del buque.

Palabras claves: Sistema de protección catódica, ánodos de sacrificio, casco de buques, potencial electronegativo, densidad de corriente.





de ingeniería naval, transporte marítimo e ingeniería portuaria



INTRODUCCIÓN

El sistema de protección catódica se implementa con el objetivo de hacer funcionar al casco del buque como un cátodo en una celda de corrosión, regulando ciertos factores electroquímicos, donde el ánodo galvánico o ánodo de sacrificio, conectado eléctricamente al casco del buque (parcialmente sumergido), descargará una corriente que fluirá a través del electrolito (en este caso el agua de mar) hasta el casco del buque, protegiendo su superficie. (Fig 1)

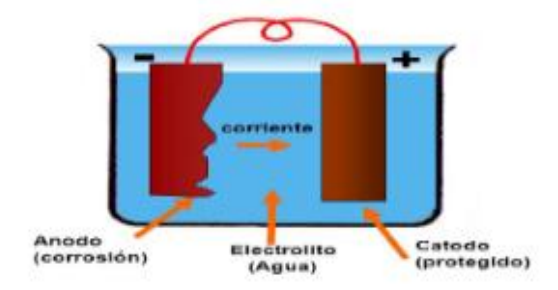


Fig 1. Proceso de corrosión en un electrolito.

Para garantizar una protección adecuada los ánodos deben cumplir con ciertos requerimientos, como: peso del ánodo, dimensiones, y forma geométrica. (Fig 2)



Fig 2. Ánodos de Zinc y Aluminio.

Se entiende por corrosión a la destrucción de un cuerpo sólido causada por un ataque espontáneo, de naturaleza química o electroquímica que se inicia en la superficie. (Fig 3)

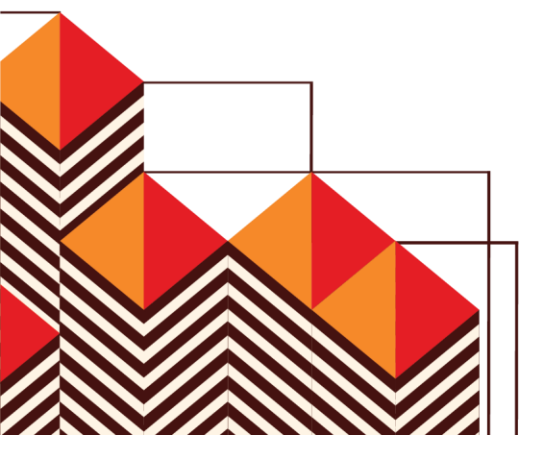








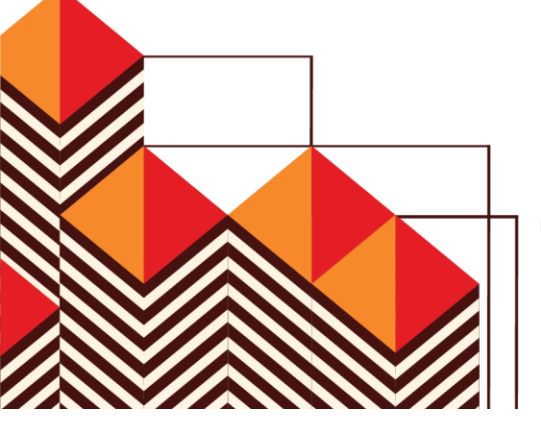
Fig 3. Corrosión del casco

Según la ubicación de los metales en la Serie Electroquímica, un metal será anódico con relación a otro, y al mismo tiempo será catódico respecto a otro metal, en dependencia de su potencial electronegativo, y por ende de la ubicación que tenga en la tabla. Por ejemplo, según la figura 4, el Hierro será catódico con respecto al aluminio por encontrarse por debajo de éste y al mismo tiempo será anódico con respecto al Cobre por encontrarse por encima de este otro. Esto evidentemente responde a la diferencia de potencial que existe entre ellos.

Bajo este concepto, el metal con potencial más electronegativo, actúa como ánodo y se sacrifica con respecto al otro metal menos electronegativo que actúa como cátodo, y es protegido por el ánodo. Es por eso, que a este sistema se le conoce con el nombre de protección catódica por ánodos de sacrificio.

lones en	Potencial	lones en	Potencial
solución	(voltios)	solución	(voltios)
Li*	- 3022	Co**	- 0,29
Rb*	- 2924	Ni**	- 0,22
K⁺	- 2925	Sn ⁺⁺	- 0,136
Ca ⁺⁺	- 2,87	Pb ⁺⁺	- 0,129
Na+	- 2715	H*	0,000
Mg**	- 1866	Bi***	+ 0,226
Al***	- 1,67	Cu**	+ 0,344
Zn⁺⁺	- 0,762	Te****	+ 0,558
Cr ⁺⁺	- 0,71	Hg**	+ 0,798
Fe ⁺⁺	- 0,441	Ag⁺	+ 0,799
Cd**	- 0,397	Pt**	+ 1,2
Ti*	- 0,336	Au***	+ 1,12

Fig 4. Serie electroquímica de los metales.







En la fig 5 se muestra el principio bajo el cual funciona este sistema de protección.

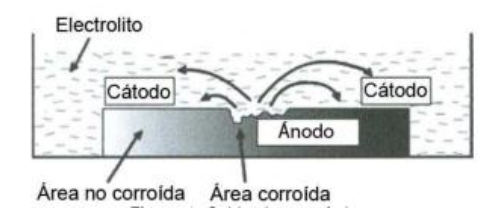


Fig 5. Celda electroquímica.

El problema de la corrosión afecta a la totalidad de la flota mundial y ocasiona pérdidas considerables al casco del buque y su rendimiento, disminuyendo su velocidad y resistencia estructural. Es por esto, que se hace necesario derogar importantes sumas de dinero para combatir la corrosión y revertir en lo posible este fenómeno.

Para que un metal pueda utilizarse como ánodo de sacrificio se deben cumplir las siguientes condiciones:

- 1. Debe tener un potencial más electronegativo como ánodo, que el del metal a proteger.
- 2. El potencial electronegativo del ánodo de sacrificio no puede exceder en mucho al del metal a proteger, ya que se disminuye considerablemente el tiempo de vida útil del ánodo.
- 3. Debe presentar una tendencia pequeña a la polarización, es decir no debe desarrollar películas pasivantes protectoras y debe tener un elevado sobrepotencial para la formación de hidrógeno.
- 4. El metal debe tener un elevado rendimiento eléctrico, expresando en A/h kg, lo que constituye su capacidad de drenaje de corriente (consumo de corriente).
- 5. La disolución del ánodo debe ser uniforme.
- 6. El metal debe ser de fácil adquisición y deberá de poderse fundir en diferentes formas y tamaños.
- 7. El metal deberá tener un costo razonable, de modo que, en conjunción con las características electroquímicas correctas, pueda lograrse una protección a un costo bajo por ampere año.

Sobre el tema de la corrosión y la forma de protección de los buques se ha escrito mucho, donde se definen como métodos fundamentales de protección catódica:



XXVII COPINAVAL congreso panamericano

de ingeniería naval, transporte marítimo e ingeniería portuaria



- 1. Por ánodos de sacrificio: donde existe por conexión directa, un par eléctrico entre el acero y un metal menos noble que él (ánodo).
- 2. Por corriente impresa: donde se utiliza corriente eléctrica proveniente de un generador externo. El objetivo de este trabajo es la implementación de un sistema de cálculo de protección catódica por ánodos de sacrificio, a través de macros de Excel, para facilitar el trabajo del profesional marítimo en el cálculo de los ánodos del buque.

2- MATERIALES Y MÉTODOS

2.1 ANTECEDENTES

Los cálculos de protección catódica de los buques se realizan por el ingeniero naval de forma esporádica, por diseño de una nueva embarcación, o por reposición de ellos antes de una varada a solicitud del cliente.

Existen procedimientos de cálculo que dan resultados diversos, y en ocasiones resultan muy aproximados en dependencia de las variables a introducir, o la simplicidad de sus formulaciones. En nuestro caso en particular, no existe una metodología para el cálculo de la protección catódica que nos brinde una respuesta inmediata para la solución de este problema. Es por ende, que nos damos a la tarea de crear un sistema de cálculo de protección catódica con macros en Excel, donde el operador solo debe introducir los valores de entrada del buque, y el material del ánodo a utilizar, para lo cual el sistema escoge por defecto los parámetros de cálculo y realiza de forma inmediata el cálculo, dando la solución de ánodos necesarios para cada parte sumergida de la embarcación.

2.2 MODELO MATEMÁTICO.

2.2.1 Esquema de cálculo.

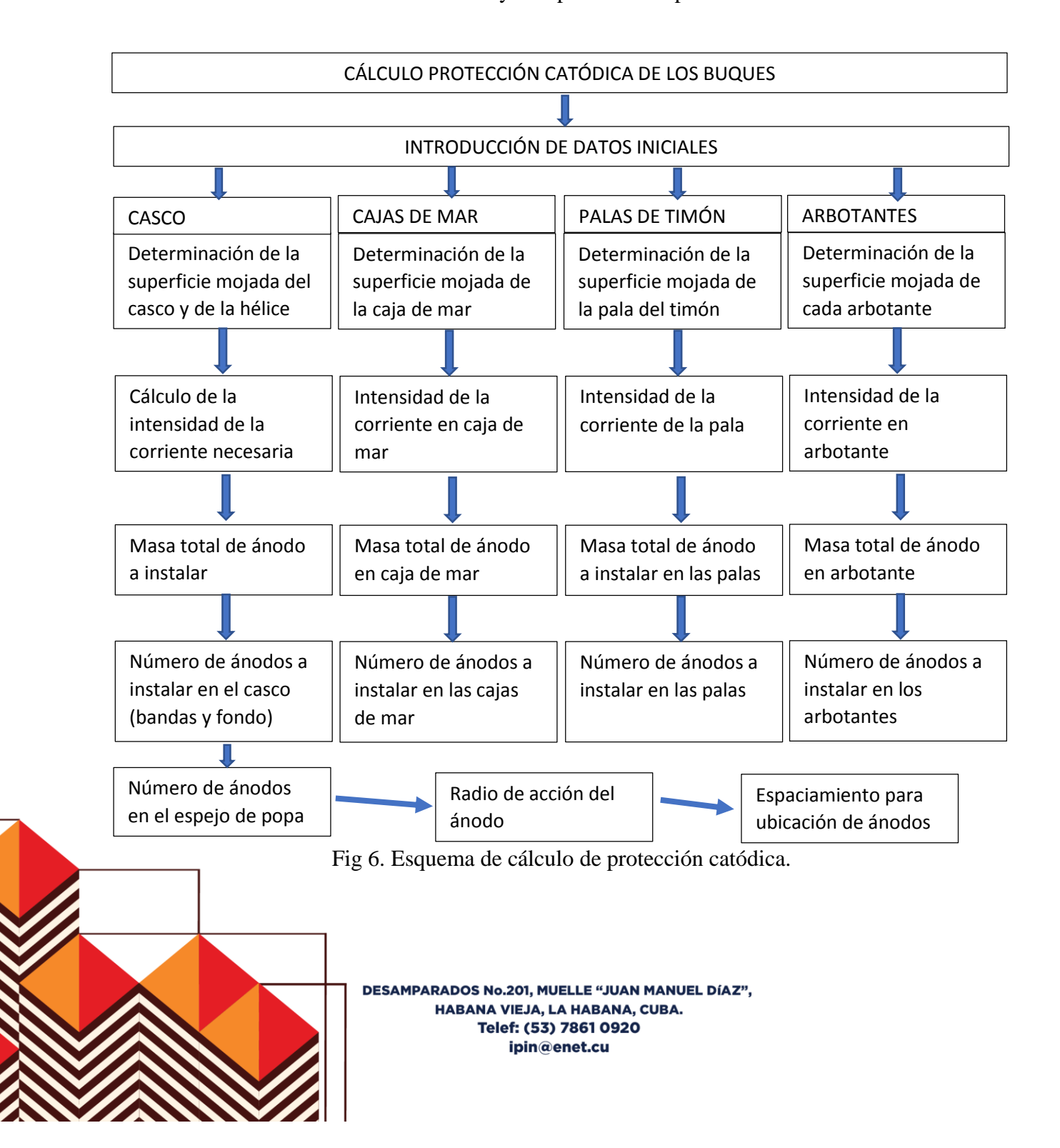
Para calcular el número de ánodos mínimo en una embarcación es necesario cumplir con los pasos descritos en el esquema de la figura 6.







En esta figura se muestra el esquema de cálculo completo para la determinación de la cantidad mínima de ánodos. Este cálculo arroja la cantidad específica en el casco (banda y fondo), la cantidad en las cajas de mar, la cantidad en las palas de los timones y la cantidad en los arbotantes, así como brinda la vida útil de los ánodos y el espaciamiento para su ubicación en el casco.







2.2.2 Formulación matemática.

Para la elaboración del modelo matemático se acopiaron diversas fuentes, donde se conformó la variante más completa de cálculo, de forma tal que abarcara las diversas partes de la superficie sumergida del buque.

El modelo matemático fue implementado en una hoja de Excel y las fórmulas que responden a esto son las siguientes:

1. Cálculo del área de la superficie mojada.

$$S_{mc} = (1.8 * L_{nn} * D) + (B *_{c} L_{nn} * B)$$
(1)

Donde:

 S_{mc} – Superficie mojada del casco, m^2

 L_{pp} – Eslora entre perpendiculares, m

D - Calado, m

 B_c – Coeficiente de bloque.

B – Manga de trazado, m

2. Intensidad de la corriente total.

$$I_t = \left(S_{mc} * DC_c * f_{drf}\right) + \left(S_{mh} * DC_h\right) \tag{2}$$

Donde:

 I_t – Intensidad de corriente total, A

 DC_c – Densidad de corriente del casco, mA/ m^2

 f_{drf} – Factor de deterioro de recubrimiento final

 S_{mh} – Superficie mojada de la hélice, m^2

$$S_{mh} = \pi * r^2 * 1.1777786 * 2$$

r - Radio de la hélice, m







(5)

El factor de deterioro del recubrimiento f_{drf} , describe la reducción de la corriente de protección necesaria debida a la aplicación de un recubrimiento electricamente aislado.[1]

$$f_{drf} = a + b * t \tag{3}$$

Donde:

a, b – Constantes que dependen de las categorías del recubrimiento.

t – vida de diseño del sistema de protección catódica, años.

Categoría I: una capa de pintura epoxi, con un espesor de capa seca mínimo de 20 µm.

Categoría II: una o más capas de pintura marina base epoxi, poliuretano o vinilo con un espesor mínimo de la capa seca de 250 µm.

Categoría III: dos o más capas de pintura base epoxi, poliuretano o vinilo con un espesor mínimo de la capa seca de 350 µm.

Las constantes a y b pueden tener los valores reflejados en la tabla 2.

Tabla 2. Constantes recomendadas de a y b para el cálculo del factor de deterioro de la pintura.

Profundidad (m)	Valores recomendados de a y b según categorías I, II y III.		
	I (a=0.10)	II (a=0.05)	III (a=0.02)
0-30	b=0.10	b=0.025	b=0.012
>30	b=0.05	b=0.015	b=0.008

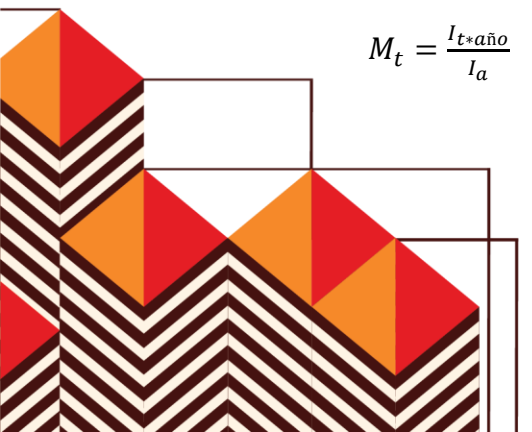
3. Intensidad de la corriente total por año

$$I_{t*a\tilde{n}o} = I_t * 365 * 24 * t \tag{4}$$

Donde:

 $I_{t*a\tilde{n}o}$ – Intensidad de la corriente total por años, Ah

4. Masa de ánodo a instalar.



congreso panamericano de ingeniería naval, transporte marítimo e ingeniería portuaria



Donde:

 M_t – Masa total de ánodo a instalar, Kg

 I_a — Capacidad eléctrica teórica del ánodo, Ah/Kg

5. Masa real de ánodo a instalar.

$$M_r = \frac{I_{t*a\tilde{n}o}}{R_a*F_u} \tag{6}$$

Donde:

 M_r – Masa real del ánodo, Kg

 R_a — Rendimiento del ánodo.

 F_u – Factor de utilización.

6. Número de ánodos a instalar.

$$N_a = \frac{M_r}{P_{ac}} \tag{7}$$

Donde:

 N_a — Número de ánodos, u

 P_{ac} — Peso del ánodo en el casco, Kg

7. Superficie mojada de la caja de mar.

$$S_{mcm} = (a * p) + 4(h * p) \tag{8}$$

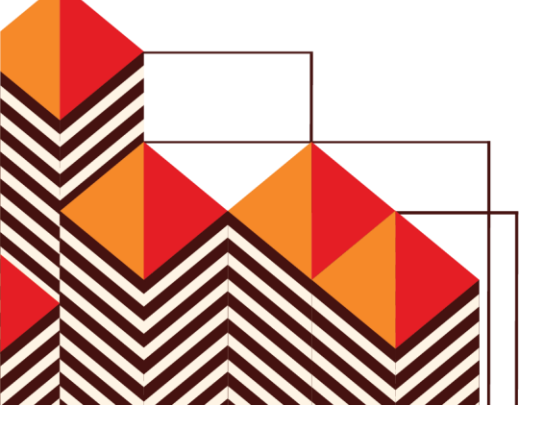
Donde:

 S_{mcm} — Superficie mojada de caja de mar, m^2

a – Ancho caja de mar, m

p – Profundidad caja de mar, m

h – Altura caja de mar, m







8. Intensidad de corriente total caja de mar.

$$I_{tcm} = S_{mcm} * DC_{cm} * f_{drf} \tag{9}$$

Donde:

 I_{tcm} – Intensidad de corriente total caja de mar, A

 DC_{cm} – Densidad de corriente caja de mar, mA/ m^2

9. Intensidad de corriente total gastada por año en caja de mar.

$$I_{t,a\tilde{n}o,cm} = I_{tcm} * 365 * 24 * t \tag{10}$$

Donde:

 $I_{t*a\tilde{n}o*cm}$ — Intensidad de corriente total gastada por año en caja de mar, A

10. Masa del ánodo a instalar en cajas de mar.

$$M_{tcm} = \frac{I_{t,a\tilde{n}o,cm}}{I_{a}*R_{a}*F_{u}} \tag{11}$$

Donde:

 M_{tcm} – Masa total del ánodo en cajas de mar, Kg

11. Cantidad de ánodos a instalar en cajas de mar.

$$C_{acm} = \left(\frac{M_{tcm}}{P_{acm}}\right) * ncm \tag{12}$$

Donde:

 P_{acm} – Peso de cada ánodo en cajas de mar, Kg

ncm – Cantidad de cajas de mar, u

12. Superficie mojada de la pala del timón.

$$S_{mp} = b * h_p * 2 \tag{13}$$



congreso panamericano de ingeniería naval, transporte marítimo e ingeniería portuaria



Donde:

 S_{mp} – Superficie mojada de la pala del timón, m^2

b – Ancho de la pala, m

 h_p — Altura de la pala, m

13. Intensidad de corriente total de la pala.

$$I_{tp} = S_{mp} * DC_p * f_{drf} \tag{14}$$

Donde:

 I_{tp} — Intensidad de la corriente total de la pala, A

 DC_p – Densidad de corriente de la pala, mA/ m^2

14. Intensidad de la corriente total de la pala por años.

$$I_{tp,a\tilde{n}os} = I_{tp} * 365 * 24 * t \tag{15}$$

Donde:

 $I_{tp,a\tilde{n}os}$ – Intensidad de la corriente total de la pala por años, (Ah)

15. Masa total del ánodo de las palas.

$$M_{tt} = \frac{I_{tp,a\tilde{n}os}}{I_a * R_a * F_u} \tag{16}$$

Donde:

 M_{tt} – Masa total del ánodo de las palas, Kg

16. Cantidad total de ánodos en las palas.







Donde:

np - Cantidad de palas de timón, u

Papt – Peso de cada ánodo en las palas del timón, Kg

17. Superficie mojada de cada arbotante.

$$S_{ma} = b_a * h_a * 2 * npa + S_{mn}$$
 (18)

Donde:

 S_{ma} – Superficie mojara de cada arbotante, m^2

 b_a – Ancho de pata de arbotante, m.

 h_a – Altura de pata de arbotante, m

npa – Cantidad de patas del arbotante, m.

 S_{mn} – Área mojada del núcleo del arbotante, m^2

$$S_{mn} = \pi * d_a * l_n$$

 d_a – Diámetro del núcleo del arbotante, m

 l_n – Largo del núcleo del arbotante, m

18. Intensidad de corriente total del arbotante.

$$I_{ta} = S_{ma} * DC_a * f_{drf} (19)$$

Donde:

 I_{ta} – Intensidad de corriente total del arbotante, mA

 DC_a – Densidad de corriente del arbotante, mA/ m^2

19. Intensidad de corriente total de los arbotantes por años.

$$I_{ta,a\tilde{n}os} = I_{ta} * 365 * 24 * t \tag{20}$$







Donde:

 $I_{ta,a\tilde{n}os}$ –Intensidad de corriente total de los arbotantes por años, (Ah)

20. Masa total de ánodos en los arbotantes

$$M_{ta} = \frac{I_{ta,a\tilde{n}os}}{I_a * R_a * F_u} \tag{21}$$

21. Cantidad total de ánodos en los arbotantes.

$$C_{aa} = \left(\frac{M_{ta}}{P_{aa}}\right) * na \tag{22}$$

Donde:

Paa – Peso del ánodo en los arbotantes, Kg

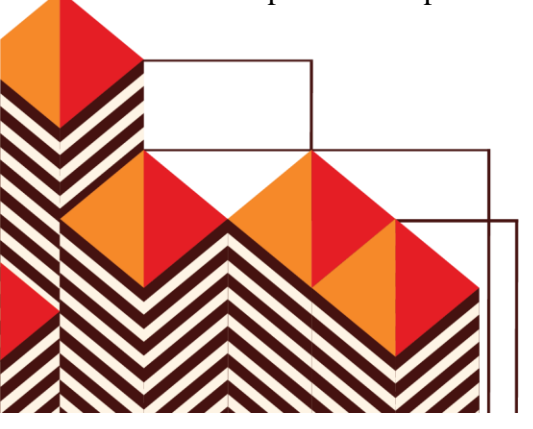
na − Cantidad de arbotantes, u

3. RESULTADOS

Se obtuvo como resultado un sistema de protección catódica de los buques que muestra la siguiente estructura:

- Pantalla de presentación, entrada de los datos iniciales y muestra de los resultados finales.
 (Hoja con denominación "CALCULO").
- 2. Pantalla de formulario. (Hoja con denominación "FORMULARIO"). Se presenta el modelo matemático y el proceso de cálculo completo.
- 3. Pantalla de ayuda (Hoja con denominación "AYUDA"). Se brinda la ayuda necesaria para escoger los datos imprescindibles para el cálculo.

Estas pantallas se presentan como se muestra en las siguientes figuras:



congreso panamericano de ingeniería naval, transporte marítimo e ingeniería portuaria



1. Pantalla "CÁLCULO".

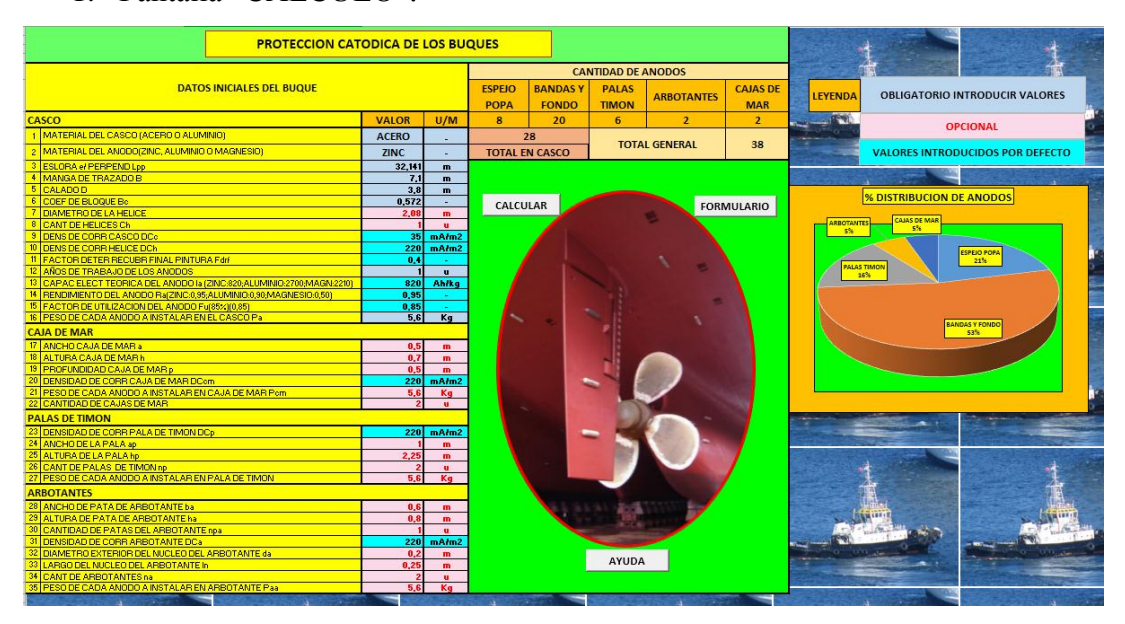


Fig 7. Entrada de datos iniciales.

2. Pantalla "FORMULARIO 1ra PARTE".

CALCULO DE PROTECCION CAT 1. DATOS INICIALES		
ASCO	VALOR	U/M
MATERIAL DEL CASCO (ACERO O ALUMINIO)	ACERO	-
MATERIAL DEL ANODO(ZINC, ALUMINIO O MAGNESIO)	ZINC	-
SLORA of PERPEND Lpp	38,5	m
MANGA DETRAZADO B	7,1	m
ALADO D	3,23	m
OEF DE BLOQUE Bo	0,572	-
IAMETRO DE LA HELICE	2,08	m
ANT DE HELICES Ch	1	u
ENS DE CORR CASCO DCc	35	mA/m2
ENS DE CORR HELICE DCh	220	mA/m2
ACTOR DETER RECUBR FINAL PINTURA Fdrf	0,4	-
ÑOS DETRABAJO DE LOS ANODOS t	3	u
APAC ELECT TEORICA DEL ANODO Is	820	Ah/kg
ENDIMIENTO DEL ANODO Ro (95%)	0,95	-
ACTOR DE UTILIZACION DEL ANODO Fu (85%)	0,85	-
ESO DE CADA ANODO A INSTALAR EN EL CASCO Pac	10	Kg
AJA DE MAR		
NCHO CAJA DE MAR s	0,5	m
LTURA CAJA DE MARIN	0,7	m
ROFUNDIDAD CAJA DE MAR p	0,5	m
ENSIDAD DE CORRICAJA DE MARIDO:m	220	mA/m2
ESO DE CADA ANODO A INSTALAR EN CAJA DE MAR Pacm	5,6	Kg
ANT CAJAS DE MAR nom	2	u
LAS DE TIMON		
ENSIDAD DE CORR PALA DE TIMON DC:	220	mA/m2
NCHO DE PALA DE TIMON 6	1	m
LTURA DE PALA DE TIMON NP	2,25	m
ANT DE PALAS DE TIMON np	2	u
ESO DE CADA ANODO A INSTALAR EN PALA DE TIMON Pape	5,6	Kg
RBOTANTES		
NCHO DE PATA DE ARBOTANTE 64	0,6	m
LTURA DE PATA DE ARBOTANTE No	0,8	m
ANTIDAD DE PATAS DEL ARBOTANTE npo	1	u
ENSIDAD DE CORR ARBOTANTE DC₃	220	mA/m2
IAMETRO EXTERIOR DEL NUCLEO DEL ARBOTANTE do	0,2	m
ARGO DEL NUCLEO DEL ARBOTANTE In	0,25	m
ANT DE ARBOTANTES no	2	u
ESO DE CADA ANODO A INSTALAR EN ARBOTANTE Psa	5,6	Kg



Fig 8. Datos de entrada del formulario para el cálculo







3. Pantalla "FORMULARIO 2da PARTE".

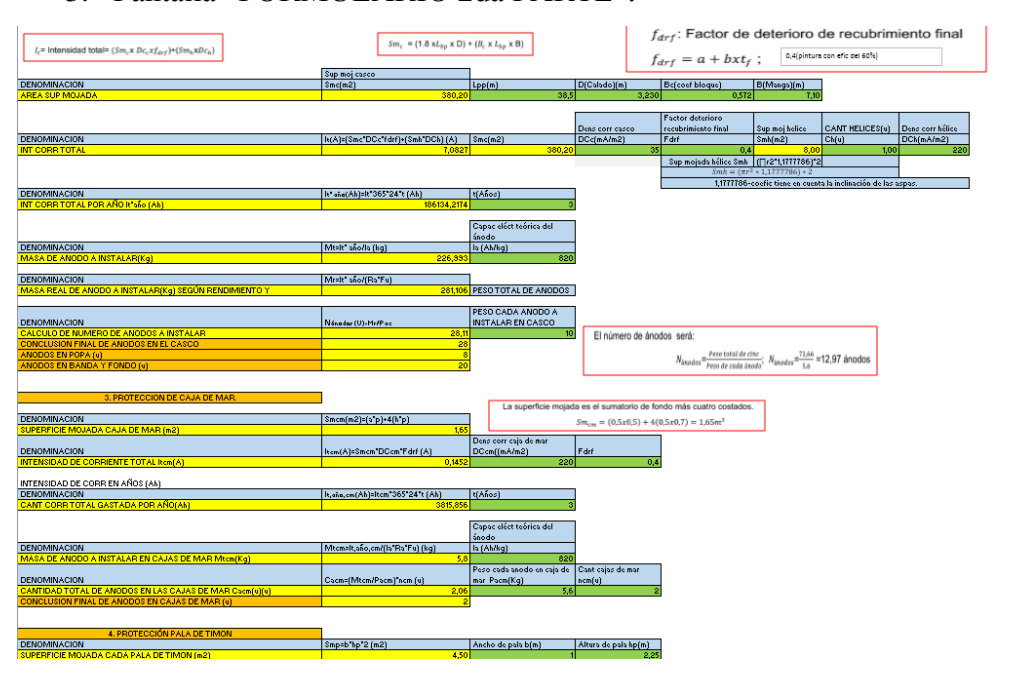


Fig 9. Formulario 2da parte.

4. Pantalla "FORMULARIO 3ra PARTE".

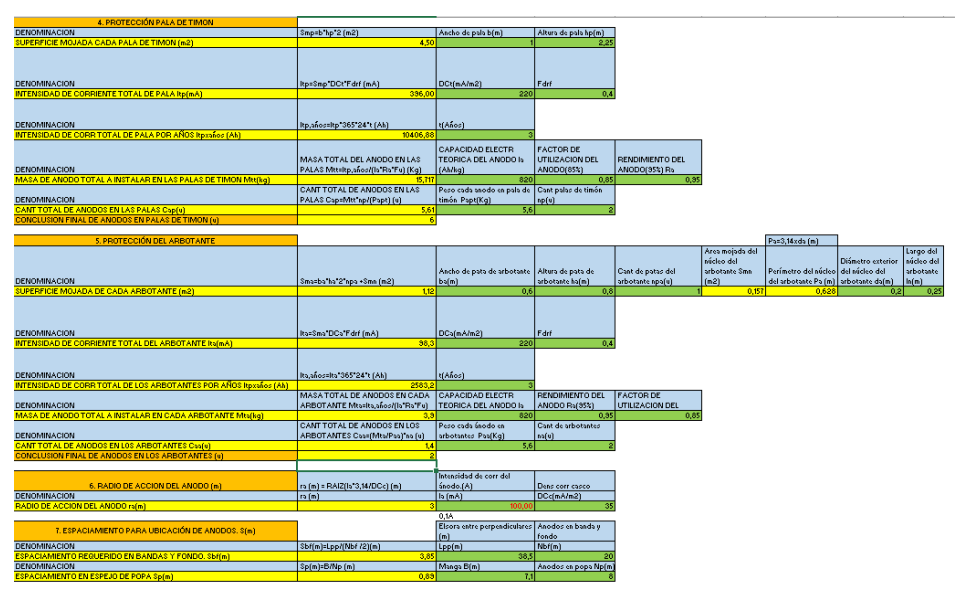


Fig 10. Formulario 3ra parte.







5. Pantalla "AYUDA".

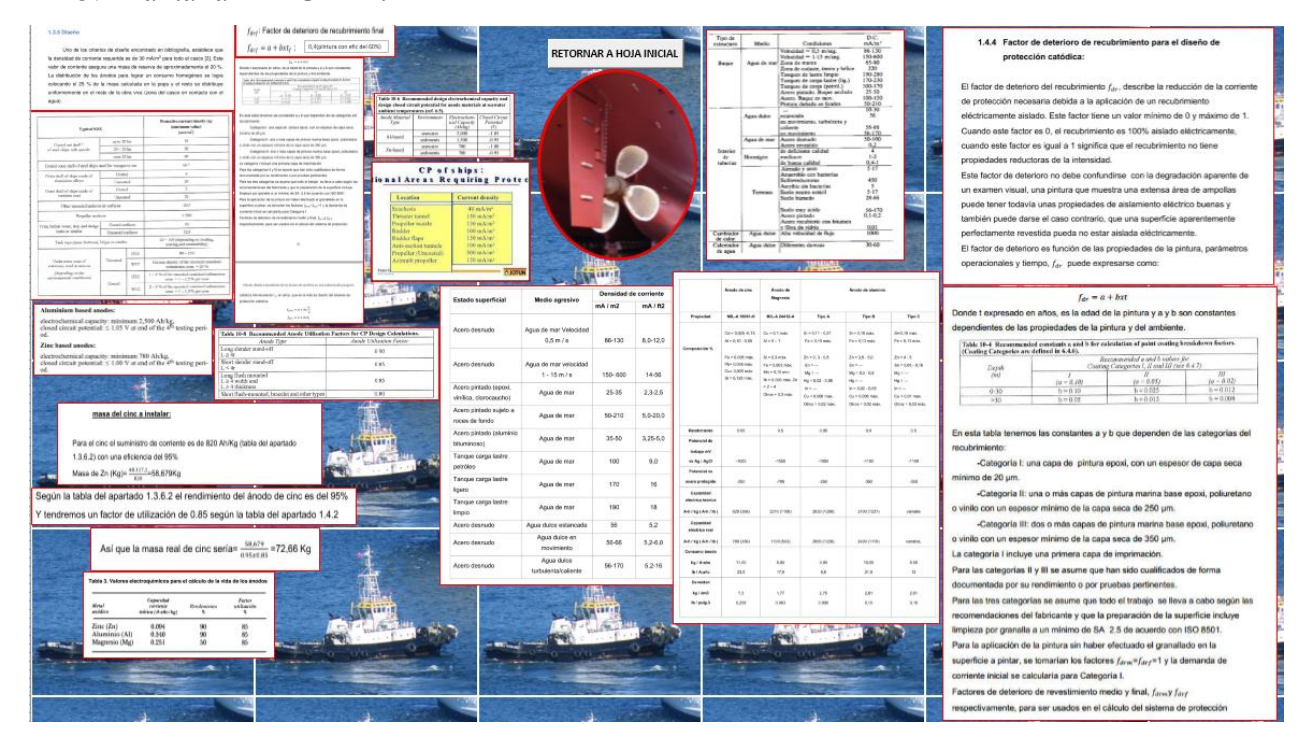


Fig 11. Ayuda para seleccionar datos del cálculo.

3.1 Implementación de las macros.

Para la implementación del cálculo se creó en VisualBasic la siguiente macro:

Sub CALCULAR()

Rem Definir material del casco

If Range("G8").Value <> ("ACERO") And Range("G8").Value <> ("ALUMINIO") Then MsgBox ("INTRODUZCA ACERO O ALUMINIO EN MAYUSCULAS")

Exit Sub

End If

Rem Introducir propiedades en dependencia del material del casco

If Range("G8"). Value = ("ACERO") Then

Range("G16"). Value = 35

End If

If Range("G8"). Value = ("ALUMINIO") Then

Range("G16"). Value = 20

End If

Rem Definir material del ánodo



COPINAVAL

congreso panamericano de ingeniería naval, transporte marítimo e ingeniería portuaria



```
If Range("G9"). Value <> ("ZINC") And Range("G9"). Value <> ("ALUMINIO") And
Range("G9"). Value <> ("MAGNESIO") Then
MsgBox ("INTRODUZCA ZINC O ALUMINIO O MAGNESIO EN MAYUSCULAS")
Exit Sub
End If
Rem Introducir propiedades del ánodo de ZINC
```

If Range("G9"). Value = ("ZINC") Then

Range("G20"). Value = 820

Range("G21"). Value = 0.95Range("G22"). Value = 0.85

End If

Rem Introducir propiedades del ánodo de ALUMINIO

If Range("G9"). Value = ("ALUMINIO") Then

Range("G20"). Value = 2700

Range("G21"). Value = 0.9

Range("G22"). Value = 0.85

End If

Rem Introducir propiedades del ánodo de MAGNESIO

If Range("G9"). Value = ("MAGNESIO") Then

Range("G20"). Value = 2210

Range("G21"). Value = 0.5

Range("G22"). Value = 0.85

End If

Rem Asegurar que los valores no estén vacíos

If Range("G8"). Value = Empty Or Range("G9"). Value = Empty Or Range("G10"). Value = Empty Or Range("G11"). Value = Empty Or Range("G12"). Value = Empty Or Range("G13"). Value = Empty Or Range("G19"). Value = Empty Or Range("G23"). Value = Empty Then

MsgBox ("DATOS INCOMPLETOS")

Exit Sub

End If

Rem Asegurar que algunos valores de estos vacíos, tomen valores de cero

If Range("G14"). Value = Empty Then

Range("G14"). Value = 0

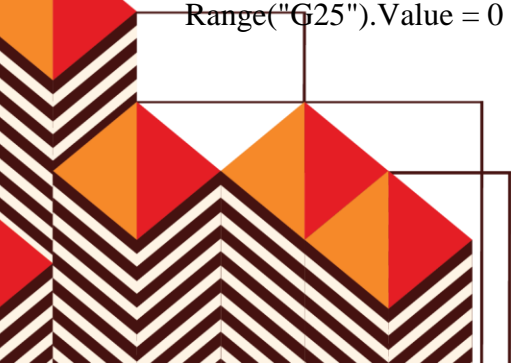
End If

If Range("G15"). Value = Empty Then

Range("G15"). Value = 0

End If

If Range("G25"). Value = Empty Then



congreso panamericano de ingeniería naval, transporte marítimo e ingeniería portuaria



End If

If Range("G26"). Value = Empty Then

Range("G26"). Value = 0

End If

If Range("G27"). Value = Empty Then

Range("G27"). Value = 0

End If

If Range("G29"). Value = Empty Then

Range("G29"). Value = 0

End If

If Range("G30"). Value = Empty Then

Range("G30"). Value = 0

End If

If Range("G33"). Value = Empty Then

Range("G33"). Value = 0

End If

If Range("G34"). Value = Empty Then

Range("G34"). Value = 0

End If

If Range("G35"). Value = Empty Then

Range("G35"). Value = 0

End If

If Range("G36"). Value = Empty Then

Range("G36"). Value = 0

End If

If Range("G38"). Value = Empty Then

Range("G38"). Value = 0

End If

If Range("G39"). Value = Empty Then

Range("G39"). Value = 0

End If

If Range("G40"). Value = Empty Then

Range("G40"). Value = 0

End If

If Range("G42"). Value = Empty Then

Range("G42"). Value = 0

End If

If Range("G43"). Value = Empty Then

Range("G43"). Value = 0



congreso panamericano de ingeniería naval, transporte marítimo e ingeniería portuaria



End If

If Range("G44"). Value = Empty Then

Range("G44"). Value = 0

End If

If Range("G45"). Value = Empty Then

Range("G45"). Value = 0

End If

Rem Copiar los valores de entrada en el formulario

Range("G8:G45").Copy

Sheets("FORMULARIO").Range("B4:B41").PasteSpecial xlPasteValues

Rem Copiar valores de resultados en las casillas de entrada

Rem Espejo de popa

Sheets("FORMULARIO").Range("B70").Copy

Sheets("CALCULO").Range("I7").PasteSpecial xlPasteValues

Sheets("CALCULO").Select

Rem Bandas y fondo

Sheets("FORMULARIO").Range("B71").Copy

Sheets("CALCULO").Range("J7").PasteSpecial xlPasteValues

Sheets("CALCULO").Select

Rem Palas de timón

Sheets("FORMULARIO").Range("B104").Copy

Sheets("CALCULO").Range("K7").PasteSpecial xlPasteValues

Sheets("CALCULO").Select

Rem Arbotantes

Sheets("FORMULARIO").Range("B117").Copy

Sheets("CALCULO").Range("L7").PasteSpecial xlPasteValues

Sheets("CALCULO").Select

Rem Cajas de mar

Sheets("FORMULARIO").Range("B90").Copy

Sheets("CALCULO").Range("M7").PasteSpecial xlPasteValues

Sheets("CALCULO").Select

Rem Solucionar valor indefinido de caja de mar

Sheets("CALCULO").Select

If Range("G29,G30"). Value = 0 Then

Range("M7"). Value = 0

End If

Rem Solucionar valor indefinido de palas de timón

Sheets("CALCULO").Select

If Range("G35,G36"). Value = 0 Then







Range("K7").Value = 0
End If
Rem Solucionar valor indefinido de arbotantes
Sheets("CÁLCULO").Select
If Range("G44,G45").Value = 0 Then
Range("L7").Value = 0
End If
Sheets("CÁLCULO").Select
End Sub

4- CONCLUSIONES

- 1. Se creó un sistema de cálculo de protección catódica de los buques, realizado con macros en Excel, que posibilita una mejor interacción con el usuario y de fácil operación.
- 2. Se logró una solución práctica a los profesionales del mar, para el cálculo y determinación de la cantidad de ánodos de sacrificio en las diferentes partes de la obra viva del buque.
- 3. Se confeccionó un esquema de cálculo lo más completamente posible que da respuesta a esta problemática.

5- BIBLIOGRAFIA

- 1. Bárez García, Sara. "Cálculo, diseño e instalación de los ánodos de sacrificio en una embarcación de pesca". Escuela Técnica Superior de Náutica. Universidad de Cantabria.
- 2. Fernando Javier. "Sistemas de protección catódica". Mar del Plata, Septiembre 2011.
- 3. Borrás Salla, Marc. "Desarrollo de una interfaz gráfica y validación del software para el cálculo de la pérdida de potencia en función del aumento de la corrosión en su casco". Universidad Politécnica de Cartagena. Diciembre 2016.
- 4. Rosario Francia, Samuel. "Protección catódica-Diseño de ánodos de sacrificio". Revista del Instituto de Investigación FIGMMG. Vol 7, No 13, 37-44 (2004) Universidad Nacional Mayor de San Marcos ISSN: 1561-0888 impreso) / 1628-8097 (electrónico).
- 5. Loachamin Nasimba, Jefferson. "Diseño y simulación de protección catódica en la industria petrolera". Quito, Diciembre 2019.







- PEMEX. "Diseño, instalación y mantenimiento para los sistemas de protección catódica". Comité
 de Normalización de Petróleos Mexicanos y Organismos Subsidiarios. NRF-047-PEMEX-2002.
 México, Agosto 2022.
- 7. Rodríguez Conde, Begoña. "Impacto ambiental de los ánodos de sacrificio en la Ría de Vigo". Universidad de la Coruña. Trabajo de Fin de Maestría. Septiembre 2017.
- Pérez Pérez, Waldo Fabián. "Estudio técnico-económico del sistema de protección catódica del remolcador de alta mar Pequén de Saam". Universidad Técnica Federico santa María. Valparaíso, Abril 2018.
- Fraga Rivas, Alberto Javier. "Ingeniería Marina: Sistemas de protección catódica a bordo".
 Universidad de la Coruña. Trabajo fin de grado. Septiembre 2016.
- 10. Guidice, Carlos A. Pereyra, Andrea M. "Protección catódica con ánodos galvánicos". Universidad Tecnológica Nacional facultad regional La Plata.
- 11. Méndez Pérez, Adonay. "Protección catódica: Ánodos de sacrificio". Universidad de La Laguna. Septiembre 2016.

